

УДК 539.3

Моментно упругая полуплоскость под действием поверхностных нестационарных нормальных перемещений

Чан Ле Тхай^{1*}, Тарлаковский Д.В.^{1,2**}

¹Московский авиационный институт (национальный исследовательский университет), МАИ, Волоколамское шоссе, 4, Москва, А-80, ГСП-3, 125993, Россия

^{1,2}НИИ механики МГУ имени М.В. Ломоносова, Мичуринский проспект, 1, Москва, 119192, Россия

*e-mail: tranlethaiyv@gmail.com

**e-mail: tdvhome@mail.ru

Аннотация

Рассматривается упругая однородная изотропная полуплоскость, заполненная средой Коссера. В начальный момент времени и на бесконечности возмущения отсутствуют. На границе полуплоскости заданы нестационарные нормальные перемещения. Все компоненты напряженно-деформированного состояния полагаются ограниченными. Разрешающая система уравнений включает в себя три гиперболических уравнений относительно скалярного потенциала, ненулевой компоненты векторного потенциала и вектора поворота. Решение задачи ищется в виде сверток заданного нормального перемещения с соответствующими поверхностными функциями Грина. Для построения последних применяются преобразования Фурье по координате и Лапласа по времени. Оригиналы изображений находятся с помощью совместного обращения преобразований Фурье

и Лапласа. Приведены примеры действия различных нестационарных нагрузок на границу полуплоскости.

Ключевые слова: среда Коссера, полуплоскость, поверхностные функции влияния, интегральные преобразования Лапласа и Фурье, совместное обращение преобразований.

Введение

В последнее время отмечается возрастающий интерес к моделям сред, позволяющим учитывать микростроение вещества [1 – 4]. Это вызвано необходимостью детального исследования напряженно-деформированного состояния при проектировании элементов различных современных конструкций, и, в том числе, новых изделий авиационной и ракетной техники.

Одна из моделей, описывающая механическое поведение тел с учетом их микроструктуры – среда Коссера. Общая теория моментной упругости впервые была разработана братьями Коссера (Э. и Ф. Коссера) в 1910 г [5]. В ней в отличие от классической теории упругости, например в [6 – 9], кроме перемещений также учитывается и вектор поворота. Краткие обзоры публикаций по тематике упругих сред с микроструктурой представлены, например, в работах [10 – 17]. Линейная теория среды Коссера рассмотрена в статье [18], а дополнительный учет температурного поля приведен в книге [19]. В статье [20] введена функция напряжений и потенциалы для изотропной центрально-симметричной среды.

Ниже дается решение одной из неисследованных плоских нестационарных задач для полупространства, заполненного средой Коссера. Оно представлено в виде свертки возмущения с ядром – поверхностной функцией влияния. Такая форма позволяет определять напряженно-деформированное состояние полуплоскости при любом поверхностном возмущении. Разработан и реализован алгоритм аналитического построения ядра, основанный на применении метода малого параметра в сочетании с совместным обращением интегральных преобразований Фурье и Лапласа [21].

1. Постановка задачи

Рассматривается задачу полуплоскость, заполненная упругой однородной изотропной средой Коссера, при отсутствии массовых сил и моментов. В прямоугольной декартовой системе координат Oxz (ось Oz направлена вглубь полуплоскости, а Ox - вдоль ее границы $z = 0$) движение среды описывается следующими соотношениями [19]:

– уравнения относительно скалярного потенциала φ , ненулевой компоненты ψ векторного потенциала перемещений и угла поворота ω (точками обозначены производные по времени τ)

$$\begin{aligned} \ddot{\varphi} &= \Delta\varphi, \quad \ddot{\psi} = (\gamma_1^{-2} + \alpha)\Delta\psi + 2\alpha\omega, \\ \ddot{\omega} &= \gamma_2^{-2}\Delta\omega - 2\alpha\beta\Delta\psi - 4\alpha\beta\omega, \quad \Delta = \frac{\partial^2}{\partial x^2} + \frac{\partial^2}{\partial z^2}; \end{aligned} \quad (1)$$

– связи касательного u и нормального w перемещений с потенциалами

$$u = \frac{\partial\varphi}{\partial x} - \frac{\partial\psi}{\partial z}, \quad w = \frac{\partial\varphi}{\partial z} + \frac{\partial\psi}{\partial x}. \quad (2)$$

– связи нетривиальных физических компонент тензоров напряжений $\sigma_{\xi\zeta}$ и моментов $\mu_{\xi\zeta}$ ($\{\xi, \zeta\} = \{r, \vartheta, z\}$) с перемещениями

$$\begin{aligned}\sigma_{xx} &= \frac{\partial u}{\partial x} + \kappa \frac{\partial w}{\partial z}, & \sigma_{yy} &= \kappa \left(\frac{\partial u}{\partial x} + \frac{\partial w}{\partial z} \right), & \sigma_{zz} &= \frac{\partial w}{\partial z} + \kappa \frac{\partial u}{\partial x}, \\ \sigma_{xz} &= (\gamma_1^{-2} + \alpha) \frac{\partial w}{\partial x} + (\gamma_1^{-2} - \alpha) \frac{\partial u}{\partial z} + 2\alpha\omega, \\ \sigma_{zx} &= (\gamma_1^{-2} + \alpha) \frac{\partial u}{\partial z} + (\gamma_1^{-2} - \alpha) \frac{\partial w}{\partial x} - 2\alpha\omega, \\ \mu_{xy} &= \frac{\partial \omega}{\partial x}, & \mu_{yx} &= \eta \frac{\partial \omega}{\partial x}, & \mu_{zy} &= \frac{\partial \omega}{\partial z}, & \mu_{yz} &= \eta \frac{\partial \omega}{\partial z}.\end{aligned}\tag{3}$$

Отметим, что при $\alpha = 0$ второе и третье уравнения в (1) становятся независимыми, т.е. поля перемещений и поворотов не связаны между собой.

В соотношениях (1) – (3) использованы такие безразмерные величины (при одинаковом начертании они обозначены штрихами, которые в них и далее опущены):

$$\begin{aligned}u' &= \frac{u}{L}, \quad w' = \frac{w}{L}, \quad x' = \frac{x}{L}, \quad z' = \frac{z}{L}, \quad \tau = \frac{c_1 t}{L}, \quad \varphi' = \frac{\varphi}{L^2}, \quad \psi' = \frac{\psi}{L^2}, \\ \sigma'_{\xi\zeta} &= \frac{\sigma_{\xi\zeta}}{\lambda + 2\mu}, \quad \mu'_{\xi\zeta} = \frac{L\mu_{\xi\zeta}}{\gamma + \varepsilon}, \quad \gamma_1^2 = \frac{c_1^2}{c_2^2}, \quad \gamma_2^2 = \frac{c_1^2}{c_3^2}, \quad \eta = \frac{\gamma - \varepsilon}{\gamma + \varepsilon}, \quad \beta = \frac{\rho L^2}{J}, \\ \alpha' &= \frac{\alpha}{\lambda + 2\mu}, \quad c_1^2 = \frac{\lambda + 2\mu}{\rho}, \quad c_2^2 = \frac{\mu}{\rho}, \quad c_3^2 = \frac{\gamma + \varepsilon}{J}, \quad \kappa = \frac{\lambda}{\lambda + 2\mu} = 1 - 2\gamma_1^{-2}.\end{aligned}\tag{4}$$

Здесь t – время; L – некоторый характерный линейный размер; λ, μ – упругие постоянные Ламе; $\alpha, \beta, \gamma, \varepsilon$ – физические параметры моментной среды; ρ – ее плотность; J – мера инерции среды при вращении (плотность момента инерции); c_1, c_2 и c_3 – скорости волн растяжения-сжатия, сдвига и кручения соответственно.

Считаем, что в начальный момент времени среда находится в покое:

$$\varphi|_{\tau=0} = \dot{\varphi}|_{\tau=0} = \psi|_{\tau=0} = \dot{\psi}|_{\tau=0} = \omega|_{\tau=0} = \dot{\omega}|_{\tau=0} = 0.\tag{5}$$

Все искомые функции предполагаются ограниченными. На границе полуплоскости заданы нормальные перемещения, а касательные перемещения и угол поворота равны нулю:

$$u|_{z=0} = 0, \quad w|_{z=0} = w_0(x, \tau), \quad \omega|_{z=0} = 0. \quad (6)$$

Искомые компоненты напряженно-деформированного состояния как решения начально-краевой задачи (1) – (3), (5) и (6) записываем в виде сверток по времени и координате x (они обозначаются звездочками):

$$U_v(x, z, \tau) = w_0(x, \tau) ** \Gamma_v(x, z, \tau). \quad (7)$$

Здесь под функциями $U_v(x, z, \tau)$ понимаются компоненты напряженно-деформированного состояния $u, w, \omega, \sigma_{zz}, \sigma_{xz}, \sigma_{zx}, \mu_{xy}, \mu_{yx}, \mu_{zy}$ или μ_{yz} , а под $\Gamma_v(x, z, \tau)$ – соответствующие им поверхностные функции влияния:

$$\begin{aligned} \Gamma_u &= u, & \Gamma_w &= w, & \Gamma_\omega &= \omega, & \Gamma_{zz} &= \sigma_{zz}, & \Gamma_{xz} &= \sigma_{xz}, \\ \Gamma_{zx} &= \sigma_{zx}, & \Gamma_{xy} &= \mu_{xy}, & \Gamma_{yx} &= \mu_{yx}, & \Gamma_{zy} &= \mu_{zy}, & \Gamma_{yz} &= \mu_{yz}, \end{aligned}$$

которые есть ограниченные решения уравнений (1) с начальными условиями (5) и следующими граничными условиями:

$$u|_{z=0} = 0, \quad w|_{z=0} = \delta(x, y)\delta(\tau), \quad \omega|_{z=0} = 0, \quad (8)$$

где $\delta(\xi)$ – дельта-функция Дирака [7].

2. Изображения поверхностных функций влияния

К начально-краевой задаче (1) – (3), (5) и (8) применяем преобразование Лапласа по времени τ и Фурье по координате x (значки « L » и « F » указывают на

соответствующие изображения; s и q – параметры этих преобразований) переходят в следующие соотношения [7]:

$$\begin{aligned} \frac{\partial^2 \varphi^{FL}}{\partial z^2} - k_0^2(q, s) \varphi^{FL} = 0, k_0(q, s) = \sqrt{q^2 + \gamma_0^2 s^2} \quad (\gamma_0 = 1), \operatorname{Re} \sqrt{\cdot} > 0, \\ (\gamma_1^{-2} + \alpha) \frac{\partial^2 \psi^{FL}}{\partial z^2} - [(\gamma_1^{-2} + \alpha) q^2 + s^2] \psi^{FL} + 2\alpha \omega^{FL} = 0, \\ \gamma_2^{-2} \frac{\partial^2 \omega^{FL}}{\partial z^2} - 2\alpha\beta \frac{\partial^2 \psi^{FL}}{\partial z^2} - (\gamma_2^{-2} q^2 + s^2 + 4\alpha\beta) \omega^{FL} + 2\alpha\beta q^2 \psi^{FL} = 0. \end{aligned} \quad (9)$$

Изображения необходимых для отыскания функций Грина перемещений и напряжений, а также граничных условий (8) записываются так:

$$u^{FL} = -iq\varphi^{FL} - \frac{\partial \psi^{FL}}{\partial z}, \quad w^{FL} = \frac{\partial \varphi^{FL}}{\partial z} - iq\psi^{FL}; \quad (10)$$

$$\sigma_{zz}^{FL} = \frac{\partial w^{FL}}{\partial z} - iq\vartheta u^{FL},$$

$$\sigma_{xz}^{FL} = (\gamma_1^{-2} - \alpha) \frac{\partial u^{FL}}{\partial z} - (\gamma_1^{-2} + \alpha) iqw^{FL} + 2\alpha\omega^{FL}, \quad (11)$$

$$\sigma_{zx}^{FL} = (\gamma_1^{-2} + \alpha) \frac{\partial u^{FL}}{\partial z} - (\gamma_1^{-2} - \alpha) iqw^{FL} - 2\alpha\omega^{FL},$$

$$\mu_{xy}^{FL} = -iq\omega^{FL}, \mu_{yx}^{FL} = -iq\kappa\omega^{FL}, \mu_{zy}^{FL} = \frac{\partial \omega^{FL}}{\partial z}, \quad \mu_{yz}^{FL} = \kappa \frac{\partial \omega^{FL}}{\partial z};$$

$$u^{FL} \Big|_{z=0} = 0, \quad w^{FL} \Big|_{z=0} = 1, \quad \omega^{FL} \Big|_{z=0} = 0. \quad (12)$$

Общее решение первого уравнения в (9) с учетом его ограниченности имеет вид:

$$\begin{aligned} \varphi^{FL}(q, z, s) = C_0(q, s) E_0(q, z, s), \psi^{FL}(q, z, s) = \sum_{l=1}^2 C_l(q, s) E_l(q, z, s), \\ \omega^{FL}(q, z, s) = \frac{1}{2\alpha} \sum_{l=1}^2 T_l(q, s) C_l(q, s) E_l(q, z, s), \\ E_j(q, z, s) = e^{-k_j(q, s)z}, T_l(q, s) = (\gamma_1^{-2} + \alpha) [q^2 - k_l^2(q, s)] + s^2, \end{aligned} \quad (13)$$

где $C_l(q, s)$ – постоянные интегрирования; а $k_{1,2}(q, s)$ – корни биквадратного уравнения, приведенного в [22].

Подстановка (13) в (11) и использование условий (12) позволяет определить постоянные интегрирования:

$$C_0(q, s) = -\frac{K_1(q, s)}{R_1(q, s)}, \quad C_1(q, s) = -\frac{iqT_2(q, s)}{R_1(q, s)}, \quad C_2(q, s) = \frac{iqT_1(q, s)}{R_1(q, s)}. \quad (14)$$

где

$$R_1(q, s) = q^2 R_2(q, s) + k_0(q, s) K_1(q, s), \\ R_2(q, s) = T_1(q, s) - T_2(q, s), \quad K_1(q, s) = k_1(q, s) T_2(q, s) - k_2(q, s) T_1(q, s).$$

Поскольку вид корней $k_{1,2}(q, s)$ не позволяет находить оригиналы аналитически, то аналогично [22] используем разложения в степенные ряды по малому параметру α , а именно, ограничиваясь линейным приближением, перемещения и угол поворота записываем так:

$$\Gamma_v(x, z, \tau) = \Gamma_{v0}(x, z, \tau) + \Gamma_{v1}(x, z, \tau)\alpha \quad (15)$$

Соответствующие (15) равенства для $k_{1,2}(q, s)$ получены в [22]:

$$k_l(q, s) = k_{0l}(q, s) + \alpha k_{1l}(q, s) \quad (l = 1, 2), \quad k_{0l}(q, s) = \sqrt{q^2 + \gamma_l^2 s^2}, \\ k_{11}(q, s) = -\frac{\gamma_1^4 s^2}{2k_{01}(q, s)}, \quad k_{12}(q, s) = \frac{2\beta\gamma_2^2}{k_{02}(q, s)}, \quad T_1(q, s) = T_{12}(q, s)\alpha^2, \\ T_2(q, s) = T_{20}(q, s) + \alpha T_{21}(q, s), \quad T_{12}(q, s) = -\frac{4\beta\gamma_1^2\gamma_2^2}{\gamma_2^2 - \gamma_1^2}, \\ T_{20}(q, s) = \gamma_1^{-2}(\gamma_1^2 - \gamma_2^2)s^2, \quad T_{21}(q, s) = -\gamma_1^{-2}\gamma_2^2(4\beta + \gamma_1^2 s^2), \quad (16)$$

Использование (10), (11), (13), (14) и (16) позволяет найти изображения искомых коэффициентов в (15). Например, для нормального напряжения они имеют вид:

$$\begin{aligned}
\Gamma_{zz00}^{FL}(q, z, s) &= \frac{\gamma_1^{-2} k_3^2(q, s) k_{01}(q, s)}{R(q, s)} e^{-k_0(q, s)z}, \quad \Gamma_{zz01}^{FL}(q, z, s) = -\frac{\gamma_1^2 s^2 q^2 k_3^2(q, s)}{2k_{01}(q, s) R^2(q, s)} e^{-k_0(q, s)z}, \\
\Gamma_{zz10}^{FL}(q, z, s) &= -\frac{2\gamma_1^{-2} q^2 k_{01}(q, s)}{R(q, s)} e^{-k_{01}(q, s)z}, \quad \Gamma_{zz2}^{FL}(q, z, s) = 0, \\
\Gamma_{zz11}^{FL}(q, z, s) &= \frac{\gamma_1^2 s^2 q^2}{R(q, s)} \left[\frac{q^2}{k_{01}(q, s) R(q, s)} - z \right] e^{-k_{01}(q, s)z}, \\
R(q, s) &= q^2 - k_0(q, s) k_{01}(q, s), \quad k_3^2(q, s) = 2q^2 + \gamma_1^2 s^2.
\end{aligned} \tag{17}$$

Далее ограничимся рассмотрением функций влияния на поверхности $z = 0$. При этом, вводя обозначения

$$\Gamma_{0zz}^{FL}(q, s) = \Gamma_{zz}^{FL}(q, 0, s) = \sum_{j=0}^2 \Gamma_{0zzj}^{FL}(q, s), \quad \Gamma_{0zzj}^{FL}(q, s) = \Gamma_{zzj}^{FL}(q, 0, s),$$

из (17) получаем:

$$\Gamma_{0zzj}^{FL}(q, s) = s^2 \Gamma_{33j}^{FL}(q, s), \quad (j = 0, 1), \tag{18}$$

где

$$\Gamma_{330}^{FL}(q, s) = \frac{k_{01}(q, s)}{R(q, s)}, \quad \Gamma_{331}^{FL}(q, s) = -\frac{\gamma_1^4 s^2 q^2}{2k_{01}(q, s) R^2(q, s)}. \tag{19}$$

Тогда оригиналы функций влияния определяются следующий образом (штрих соответствует производной по координате x):

$$\Gamma_{0zzj}(x, \tau) = \ddot{\Gamma}_{33j}(x, \tau) \quad (j = 0, 1).$$

Отметим, что знание оригиналов функций $\Gamma_{33j}^{FL}(q, s)$ в соответствии с (7), (15) и (18) при учете свойств преобразования Лапласа и свертки позволяет записать нормальное напряжение на границе полупространства так:

$$\sigma_{zz}(x, \tau) = \ddot{w}_0(x, \tau) ** \Gamma_{33}(x, \tau), \quad \Gamma_{33}(x, \tau) = \Gamma_{330}(x, \tau) + \alpha \Gamma_{331}(x, \tau). \tag{20}$$

3. Оригиналы функций влияния

Чтобы найти оригиналы функций влияния используем алгоритм совместного обращения преобразований Фурье и Лапласа [7, 21, 23]. По этому алгоритму, выполняя замену аргументов $q = \lambda s$, из (19) получаем:

$$\Gamma_{33j}^{FL}(q, s) = \frac{1}{s} h_{33j}(\lambda) \quad (j = 0, 1),$$

$$h_{330}(\lambda) = \frac{k_{01}(\lambda^2, 1)}{S(\lambda^2)}, h_{331}(\lambda) = -\frac{\gamma_1^4 \lambda^2}{2k_{01}(\lambda^2, 1)S^2(\lambda^2)}, S(\lambda) = \lambda - k_0(\lambda, 1)k_{01}(\lambda, 1);$$

$$\lambda = -\tau \frac{y + xi}{x^2 + y^2}, \lim_{y \rightarrow \pm 0} \lambda = \lambda_0(x, \tau) = -\frac{i\tau}{x},$$

Тогда искомые функции определяются так:

$$\Gamma_{33j}(x, \tau) = -\frac{1}{2\pi ix} \left[\lim_{y \rightarrow +0} h_{33j}(\lambda) - \lim_{y \rightarrow -0} h_{33j}(\lambda) \right] \quad (j = 0, 1). \quad (21)$$

Выделение однозначных ветвей функций $k_0(\lambda^2, 1)$ и $k_{01}(\lambda^2, 1)$ проводится с помощью разрезов комплексной плоскости λ вдоль мнимой оси:

$$\lim_{y \rightarrow \pm 0} k_0(\lambda^2, 1) = \begin{cases} \sqrt{1 - \tau^2/x^2} & (\tau/|x| < 1), \\ \pm i \operatorname{sign}(x) \sqrt{\tau^2/x^2 - 1} & (\tau/|x| \geq 1), \end{cases} \quad (22)$$

$$\lim_{y \rightarrow \pm 0} k_{01}(\lambda^2, 1) = \begin{cases} \sqrt{\gamma_1^2 - \tau^2/x^2} & (\tau/|x| < \gamma_1), \\ \pm i \operatorname{sign}(x) \sqrt{\tau^2/x^2 - \gamma_1^2} & (\tau/|x| \geq \gamma_1). \end{cases}$$

Выполняя предельные переходы (21), с учетом (22) получаем следующие выражения для оригиналов:

- при $\tau/|x| < 1$

$$\Gamma_{330}(x, \tau) = \Gamma_{331}(x, \tau) = 0, \quad (23)$$

- при $1 \leq \tau/|x| < \gamma_1$

$$\Gamma_{330}(x, \tau) = \frac{(\tau^2 - \gamma_1^2 x^2) \sqrt{\tau^2 - x^2}}{\pi(1 + \gamma_1^2) x^2 (\tau^2 - v_1^2 x^2)} = \Gamma_{3300}(x, \tau), \quad v_1 = \frac{\gamma_1}{\sqrt{1 + \gamma_1^2}} < 1, \quad (24)$$

$$\Gamma_{331}(x, \tau) = \frac{\gamma_1^4 \tau^4 \sqrt{\tau^2 - x^2}}{\pi(1 + \gamma_1^2)^2 x^2 (\tau^2 - v_1^2 x^2)^2} = \Gamma_{3310}(x, \tau),$$

- при $\tau/|x| \geq \gamma_1$

$$\Gamma_{330}(x, \tau) = \frac{Q(x^2, \tau^2) \sqrt{\tau^2 - \gamma_1^2 x^2}}{\pi(1 + \gamma_1^2) x^2 (\tau^2 - v_1^2 x^2)} = \Gamma_{3302}(x, \tau), \quad Q(x, \tau) = \tau + \sqrt{\tau - x} \sqrt{\tau - \gamma_1^2 x}, \quad (25)$$

$$\Gamma_{331}(x, \tau) = \frac{\gamma_1^4 \tau^2 Q^2(x^2, \tau^2)}{2\pi(1 + \gamma_1^2)^2 x^2 (\tau^2 - v_1^2 x^2)^2 \sqrt{\tau^2 - \gamma_1^2 x^2}} = \Gamma_{3312}(x, \tau).$$

Учитывая, что для известных моментно упругих материалов [11] имеет место неравенство $\gamma_1 > 1$, формулы (23) – (25) представим так ($H(\xi)$ – единичная функция Хевисайда [7]):

$$\Gamma_{33j}(x, \tau) = \sum_{l=0}^1 \Gamma_{33jl}(x, \tau) H(\tau - \gamma_l |x|) \quad (j = 0, 1), \quad (26)$$

где

$$\Gamma_{3301}(x, \tau) = \Gamma_{3302}(x, \tau) - \Gamma_{3300}(x, \tau) = \frac{\tau^2 \sqrt{\tau^2 - \gamma_1^2 x^2}}{\pi(1 + \gamma_1^2) x^2 (\tau^2 - v_1^2 x^2)},$$

$$\Gamma_{3311}(x, \tau) = \Gamma_{3312}(x, \tau) - \Gamma_{3310}(x, \tau) = \frac{\gamma_1^4 \tau^2 [\tau^4 + (\tau^2 - x^2)(\tau^2 - \gamma_1^2 x^2)]}{2\pi(1 + \gamma_1^2)^2 x^2 \sqrt{\tau^2 - \gamma_1^2 x^2} (\tau^2 - v_1^2 x^2)^2}.$$

Отсюда следует, что функция $\Gamma_{330}(x, \tau)$ непрерывна всюду, а $\Gamma_{331}(x, \tau)$ непрерывна везде за исключением точек $\tau = \gamma_1 |x|$. При этом имеют место соотношения:

$$\lim_{\tau \rightarrow |x| \pm 0} \Gamma_{33j}(x, \tau) = 0 \quad (j=0,1), \quad \lim_{\tau \rightarrow \gamma_1 |x| \pm 0} \Gamma_{330}(x, \tau) = 0,$$

$$\lim_{\tau \rightarrow \gamma_1 |x| - 0} \Gamma_{331}(x, \tau) = \frac{\sqrt{\gamma_1^2 - 1}}{\pi |x|}, \quad \lim_{\tau \rightarrow \gamma_1 |x| + 0} \Gamma_{331}(x, \tau) = +\infty.$$

4. Примеры расчетов функции влияния

Полагаем, что материалом, заполняющим полупространство, является зернистый композит из алюминиевой дроби в эпоксидной матрице, со следующими физическими характеристиками [11]:

$$\lambda = 7,59 \text{ ГПа}; \quad \mu = 1,89 \text{ ГПа}; \quad \alpha = 7,45 \text{ МПа}; \quad \gamma + \varepsilon = 2,64 \text{ кН}; \quad J = 0,429 \cdot 10^{-3} \text{ кг/м}.$$

В качестве характерного линейного размера принимаем $L = 1 \text{ м}$. При этом безразмерные параметры в (4) таковы:

$$\gamma_1 = 2,45; \quad \gamma_2 = 0,92; \quad \alpha = 0,66 \cdot 10^{-3}; \quad \beta = 5,1 \cdot 10^6.$$

На рис. 1 и 2 представлены построенные с помощью формулы (26) зависимости функций влияния $\Gamma_{330}(x, \tau)$ и $\Gamma_{331}(x, \tau)$ от времени τ при различных значениях координаты: сплошная кривая соответствует $x = 0,2$, пунктирная - $x = 0,4$, а штрихпунктирная - $x = 0,6$.

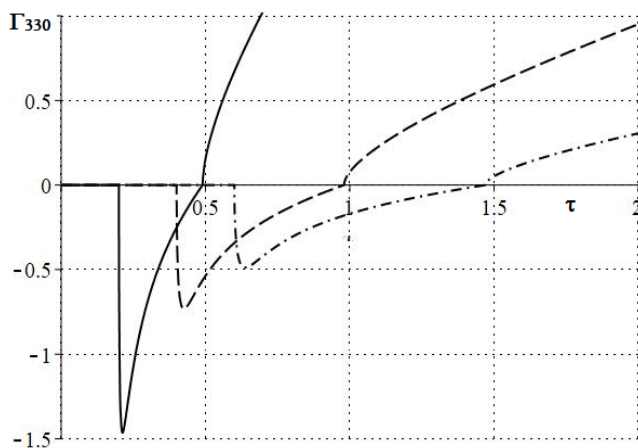


Рис. 1

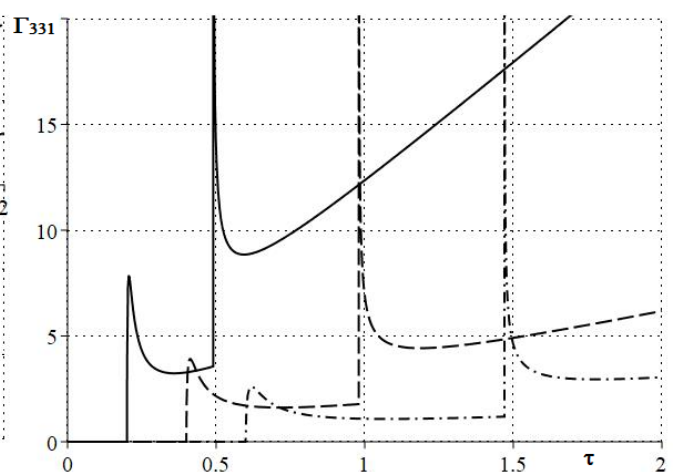


Рис. 2

На рис. 3 и 4 изображены зависимости тех функций от координаты x при различных значениях времени: сплошная кривая соответствует $\tau = 0,15$, пунктирная - $\tau = 0,3$, а штрихпунктирная - $\tau = 0,45$.

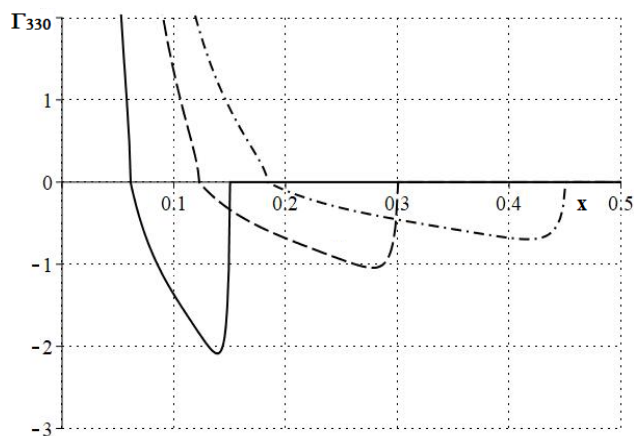


Рис. 3

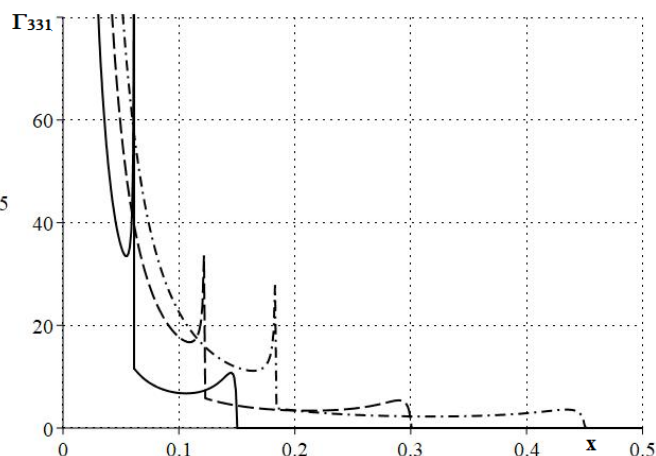


Рис. 4

Отметим, что поскольку порядки функций $\Gamma_{330}(x, \tau)$ и $\Gamma_{331}(x, \tau)$ одинаковые, то в соответствии с формулой (23) влияние учета моментных свойств среды имеет порядок коэффициента α .

5. Примеры действия нормальных перемещений

В качестве первого примера рассмотрим действие на полуплоскость сосредоточенного в начале координат возмущения вида $w_0(x, \tau) = \tau_+^2 \delta(x)/2$.

Учитывая, что при этом $\ddot{w}_0(x, \tau) = H(\tau)\delta(x)$ из формулы (20) получаем

$$\sigma_{zz}(x, \tau) = \sigma_{zz0}(x, \tau) + \alpha \sigma_{zz1}(x, \tau) \quad (27)$$

Здесь

$$\sigma_{zzj}(x, \tau) = \sum_{l=0}^1 H(\tau - \gamma_l |x|) \int_{\gamma_l |x|}^{\tau} \Gamma_{33jl}(x, t) dt \quad (j=0,1).$$

Входящие сюда интегралы находим численно. Результаты расчетов зависимости функции нормальных напряжений $\sigma_{zz0}(x, \tau)$ и $\sigma_{zz1}(x, \tau)$ от времени τ при различных значениях координаты x представлены на рис. 5 и 6 (где сплошная кривая соответствует $x = 0,2$, пунктирная - $x = 0,4$, а штрихпунктирная - $x = 0,6$).

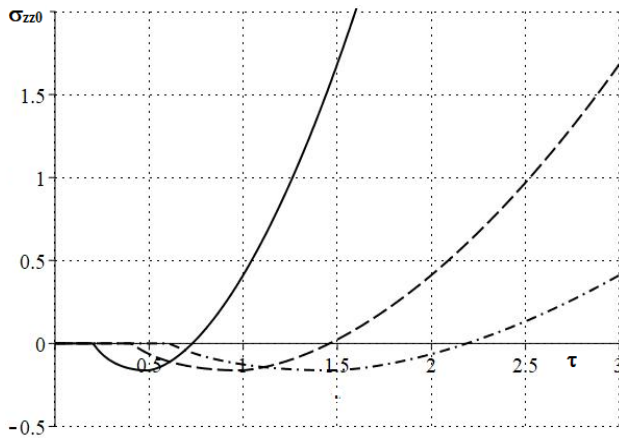


Рис. 5

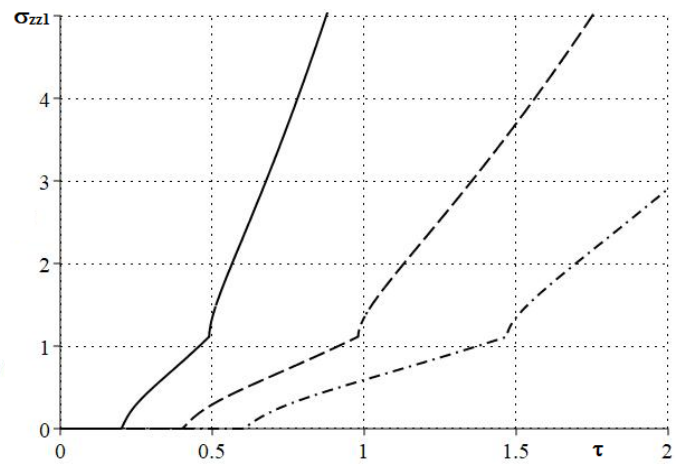


Рис. 6

Второй вариант возмущения – распределенное по оси Ox перемещение вида $w_0(x, \tau) = \tau_+ f(x) H(a - |x|)$, где $f(x) = (a^2 - x^2)^2$, $a > 0$. Учитывая, что в этом случае $\ddot{w}_0(x, \tau) = f(x) \delta(\tau)$, из формулы (20) получаем равенство (27), в котором нужно положить ($j = 0,1$)

$$\sigma_{zzj}(x, \tau) = \sum_{l=0}^1 \sigma_{zzjl}(x, \tau),$$

где

$$\sigma_{zzjl}(x, \tau) = \int_{b_l}^{c_l} H(a - |x - \xi|) f(x - \xi) H(\tau - \gamma_l |\xi|) \Gamma_{33jl}(\xi, \tau) d\xi,$$

$$b_l = \min(x - a, -\tau/\gamma_l), \quad c_l = \min(x + a, \tau/\gamma_l),$$

Входящие сюда интегралы находим численно. Результаты расчетов зависимости функции нормальных напряжений $\sigma_{zz0}(x, \tau)$ и $\sigma_{zz1}(x, \tau)$ от координаты x для различных значений времени τ при $a=0,5$ представлены на рис. 7 и 8 (где сплошная кривая соответствует $\tau=0,2$, пунктирная - $\tau=0,4$, а штрихпунктирная - $\tau=0,6$).

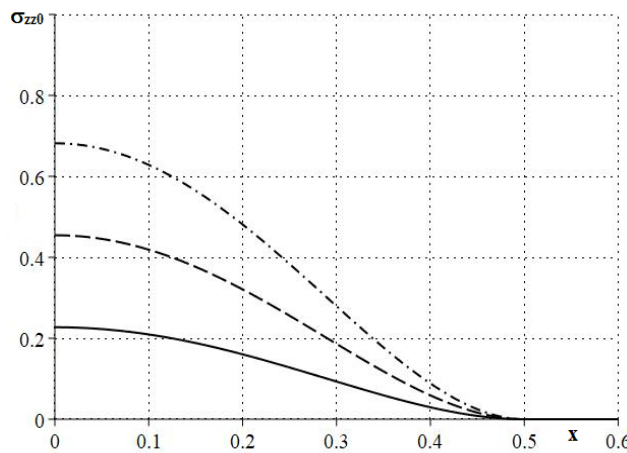


Рис. 7

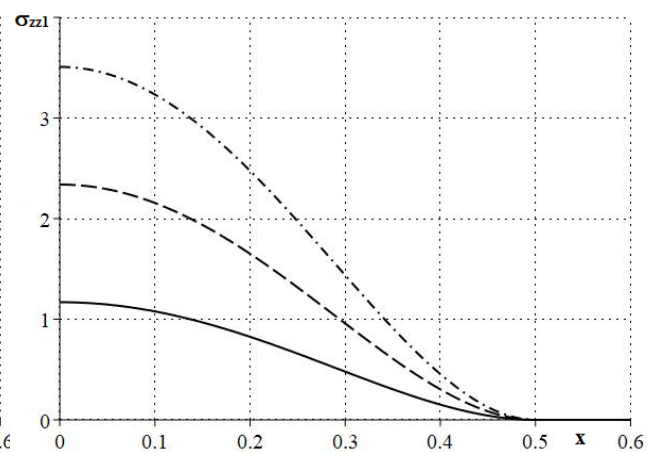


Рис. 8

5. Заключение

Построено аналитическое решение задачи о распространении нестационарных поверхностных кинематических возмущений в моментно упругой полуплоскости, позволяющее с помощью квадратур находить напряжения для любого закона изменения нагрузки. Установлено, что поправки, вносимые в решение учетом моментных свойств среды, имеют порядок коэффициента, связывающего поля перемещений и поворота. Показано, что поверхностные функции Грина в этом случае имеют интегрируемую особенность на фронте волны сдвига.

Работа выполнена при финансовой поддержке РФФИ (проект 18-08-00471).

Библиографический список

1. Аэро Э.Л., Кувшинский Е.В. Основные уравнения теории упругости с вращательным взаимодействием частиц // Физика твердого тела. 1960. Т. 2. № 9. С. 1399 – 1409.
2. Пальмов В.А. Основные уравнения теории несимметричной упругости // Прикладная математика и механика. 1964. Т. 28. № 3. С. 401 – 408.
3. Кунин И.А. Теория упругих сред с микроструктурой. - М.: Наука, 1975. - 416 с.
4. Eringen C.A. A unified continuum theory of liquid crystals // ARI - An International Journal for Physical and Engineering Sciences, 1997, vol. 50, pp. 73 - 84.
5. Cosserat E., Cosserat F. Theorie des corps deformables. Paris: Librairie Scientifique A. Hermann et Fils, 1909, 226 p.
6. Нгуен Нгок Хоа, Тарлаковский Д.В. Нестационарные поверхностные функции влияния для упруго-пористой полуплоскости // Труды МАИ. 2012. № 53. URL: <http://trudymai.ru/published.php?ID=29269>
7. Горшков А.Г., Медведский А.Л., Рабинский Л.Н., Тарлаковский Д.В. Волны в сплошных средах. - М.: Физматлит, 2004. - 472 с.
8. Старовойтов Э.И., Локтева Н.А., Старовойтова Е.Э. Деформирование трехслойных композитных ортотропных прямоугольных пластин // Труды МАИ. 2014. № 77. URL: <http://trudymai.ru/published.php?ID=53018>
9. Белов А.А., Игумнов Л.А., Карелин И.С., Литвинчук С.Ю. Применение метода ГИУ для решения краевых задач трехмерных динамических теорий вязко- и

пороупругости // Труды МАИ. 2010. № 42. URL:
<http://trudymai.ru/published.php?ID=22862>

10. Михайлова Е.Ю., Федотенков Г.В. Нестационарная осесимметричная задача об ударе сферической оболочки по упругому полупространству (начальный этап взаимодействия) // Известия РАН. Механика твердого тела. 2011. № 2. С. 98 – 108.

11. Ерофеев В.И. Волновые процессы в твердых телах с микроструктурой. - М.: Изд-во МГУ, 1999. - 328 с.

12. Кулеш М.А., Шардаков И.Н. Построение и анализ некоторых точных аналитических решений двумерных упругих задач в рамках континуума Коссера // Вестник Пермского государственного технического университета. Математическое моделирование. 2001. № 9. С. 187 – 201.

13. Шкутин И.Л. Обобщенные модели типа Коссера для анализа конечных деформаций тонких тел // Прикладная механика и техническая физика. 1996. № 3. С. 120 – 132.

14. Лай Тхань Туан, Тарлаковский Д.В. Распространение нестационарных осесимметричных возмущений от поверхности шара, заполненного псевдоупругой средой Коссера // Труды МАИ. 2012. № 53. URL:
<http://trudymai.ru/published.php?ID=29267>

15. Eremeyev V.A., Zubov L.M. On constitutive inequalities in nonlinear theory of elastic shells // ZAMM, 2007, vol. 87, no. 2, pp. 94 – 101.

16. Савин Г.Н., Лукашов А.А., Лыско Е.М. Распространение упругих волн в твердом теле с микроструктурой // Прикладная механика. 1970. Т. 6. № 7. С. 48 – 52.

17. Пальмов В.А. Основные уравнения теории несимметричной упругости // Прикладная математика и механика. 1964. Т. 28. № 6. С. 1117 – 1120.
18. Аэро Э.Л., Кувшинский Е.В. Континуальная теория асимметричной упругости. Учет внутреннего вращения // Физика твердого тела. 1964. Т. 6. № 9. С. 2689 - 2699.
19. Новацкий В. Теория упругости. - М.: Мир, 1975. - 872 с.
20. Миндлин Р.Д., Тирстен Г.Ф. Эффекты моментных напряжений в линейной теории упругости // Механика. 1964. № 4. С. 163 – 176.
21. Слепьян Л.И., Яковлев Ю.С. Интегральные преобразования в нестационарных задачах механики. – Л.: Судостроение, 1980. – 344 с.
22. Чан Ле Тхай, Тарлаковский Д.В. Нестационарное осесимметричное движение упругого моментного полупространства под действием нестационарных нормальных поверхностных перемещений // Ученые записки Казанского университета. Сер. Физико-математические науки. 2017. Т. 159. Кн. 2. С. 231 – 245.
23. Горшков А.Г., Тарлаковский Д.В. Динамические контактные задачи с подвижными границами. - М.: Наука. Физматлит, 1995. - 352 с.